

ロックフィルダムの模型振動破壊実験について

埼玉大学 理工学部 岡本舜三
東京大学生産技術研究所 田村重四郎
加藤勝行

1. 緒言

ロックフィルダムは天然の土石で築造されるため、地盤力に対する抵抗の考え方がコンクリートダムの場合と異っている。堤体を構成する個々の岩石塊の強度とは別に斜面の安定と云う立場から耐震性が評価される。

近年幾つかのロックフィルダムで地震規則が実施されたり、振動実験が行われ、又一方では强度解析が進められ、次第に地震時の挙動が明かになって来た。(しかししながら)ダムの地震時の強度、破壊現象についてはまだ殆んど完明されていない様に思われる。ロックフィルダムの耐震性を正しく評価し、耐震性を増加させる合理的な方策を見出すためにこのことは重要である。

著者等は以上の見地から、東京大学生産技術研究所の大型振動台を用いて、ロックフィルダムの大型模型の振動破壊実験を行つて来た。得られた成果(内 1)材料の粒径の増加は斜面破壊時の加速度を増加させる、(2)コア部とエール部の剛性の相互関係はダムの破壊状況に影響を与えることについては既に発表した。¹⁾こゝでは次の項目について実験結果を報告する。

斜面勾配と斜面崩落時の加速度との関係

斜面崩落状態と斜面勾配並びに粒径との関係

斜面に作られる小段の効果

斜面の崩落に及ぼす高水の効果

2. 相似則

本実験の目的は振動による破壊状況の調査にあらず、相似則の対象とダムの剪断による破壊にあたり、又線形領域における振動特性を考慮した。

自重によって剪断抵抗又は摩擦抵抗が生ずるから次式が成立する。

$$\left(\frac{\sigma_m}{\sigma_p}\right)_{weight} = \frac{P_m}{P_p} \cdot \frac{g}{g} \cdot \lambda = \left(\frac{\sigma_m}{\sigma_p}\right)_{inertia} = \frac{P_m}{P_p} \cdot \frac{\alpha_m}{\alpha_p} \cdot \lambda \quad \therefore \frac{\alpha_m}{\alpha_p} = 1$$

又堤体材料の粘着力は剪断破壊時には無視できるとしてみられる。剪断強さは直応力に比例するものとする。材料の強さは応力と同じ次元をもつから次の関係が成り立つ。

$$\frac{\delta_m}{\delta_p} = \frac{\sigma_m \tan \varphi_m}{\sigma_p \tan \varphi_p} = \frac{\sigma_m}{\sigma_p} \quad \therefore \frac{\tan \varphi_m}{\tan \varphi_p} = 1$$

更に直線性の範囲では次式が成り立つ。

$$\frac{\sigma_m}{\sigma_p} = \frac{E_m}{E_p} = \frac{P_m}{P_p} \cdot \lambda, \quad \frac{T_m}{T_p} = \frac{L_m}{L_p} \sqrt{\frac{P_m}{P_p} \cdot \frac{E_m}{E_p}} = \sqrt{\lambda} \quad \text{但し } \lambda = \frac{L_m}{L_p}$$

σ ;応力, P ;単位体積質量, g ;重力加速度, δ ;剪断強度
 E ;弾性係数, L ;長さ, φ ;内部摩擦角,

suffix m , p は夫々 model 及び prototype を示す。

此處で入は單体構造物としてダムの長さの次元に關係する比であつて、ダムの材料の粒度とは特に関連しないことに注意する必要がある。

3. 模型及び材料

模型の高さは $14''$ 、堤頂中 $0.14''$ 、長さ $2.0''$ の 2 次元模型で大型振動台砂箱中に單一材料で築造された。模型は一形状につれて 3 個以上作られ試験された。模型材料は主に $\phi 2 \sim 6\text{cm}$ の利根川産の砂利で、岩質は珪岩、砂岩、石灰岩が主で平均比重 2.56、単位体積重量は 1600 kg/m^3 、安息角は 40.4° である。その他実験には $\phi 10 \sim 30\text{cm}$ の玉石、 $\phi 5 \sim 10\text{cm}$ の碎石、 $\phi 2 \sim 10\text{cm}$ の河床堆積物等が使用された。

4. 測定用機器及び配置

模型の破壊過程及び状況を調べるためにには模型の表面及び内部の変化、運動を連續的に知る必要がある。そのために模型の内部と表面に加速度計、土圧計、歪計を設置した。又模型の変状を知るために堤体材料を着色して、模型表面並びに内部に埋設した。計測諸量はオッソロ紙に記録し、一方代表的な破壊状況は映画で撮影記録した。

歪計は厚さ 0.4mm 中 10mm の燐青銅板で極めて可接性に富み、この表面に約 100mm 間隔で貼付された抵抗線歪ゲージによって、堤体内に発生する引張かね歴変を捉えた。

土圧計の内、高感度のものは豊田工機 KK 製の半導体圧力变换器 PCS-25 である。

5. 実験

振動台上に築造された模型は $1.8 \sim 2.3\text{ Hz}$ の一定の振動の正弦波形で加振され、振幅を徐々に増加させて破壊させた。模型の共振周期は十数ヘルツとみられ、本実験では加振周期が低いで、堤体内の加速度の分布は、破壊近くまで堤頂より基盤（振動台）まで略一一定値を保つてゐる。

破壊の意味は現象面のみならず構造物の性能、重要性によつても變つてくらが、本実験では、材料の種類によつて相違はあるとしても、略共通に破壊過程として振動台の加速度を増して行くに従い i) 表面の不安定な状態にあつて石塊が転動して安定な位置に至り、ii) 表面で数個の石塊がまとまつて転動する様になり、iii) 法面が弓状又は雪崩状に滑動し、iv) 全体的に变形する事事が認められた。そこで iii) の段階をもつて崩壊又は破壊と定義することにし、(1) 時刻振動台の加速度をもつて崩壊時の加速度と α_f で表すこととした。

6. 実験結果

1) α_f と法面勾配との関係（空疎時）

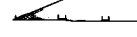
比較的粒度の均った $\phi 2 \sim 6\text{cm}$ (平均 3cm) の川砂利で、締め固めることなく築き上げた數十個の模型を 2.1 Hz で加振（破壊させ、破壊状況及びに破壊条件について調査した）。

図-1 は崩壊状況の一例で、実験後内部の状態を調べたものである。この場合、埋込まれてゐる着色材料（図では彩色塗込）の位置と散らばり具合は、堤体内部及び表面の動きについて、安定した情報を与えてくれる。

図-2 はこれ等の実験で得られた α_f と法面勾配との関係を示してある。実験模型では上下流面の勾配が等しい場合もあり、異なる場合もある。図-2 の印は上下流面で勾配が異なるとき、差な勾配の

面の崩落に対する α_f を木し・印
は緩勾配の面に対するものである。
本実験では上下流面の勾配の差は
最大4%であって、この程度の差
異は α_f には殆んど影響を及ぼさ
ず夫々の勾配によって生まる α_f
で各面が崩壊してしまふのが分か
る。

勾配が2割5分程度まで緩くなる
 までは法面の勾配の変化は α_f
 に着しい影響を与える。 α_f は勾配
 の緩くなると従つて略直線的に
 増加していく。(が)、2割5分以上緩くなると α_f
 は次第に増加する割合が小さくなり一定値に近づいて
 行く傾向をもつてゐる。この傾向は傾斜した面
 を物体が滑動すると至る傾向によく一致する。即ち
 4-2の着色領域の中心を通る線は斜面と物体との
 間の摩擦係数を 1.18 とし、法面勾配と斜面の傾
 斜角とし、水平に α_f の加速度が働くとした時の物体
 の滑動を示す線とよく合うのである。



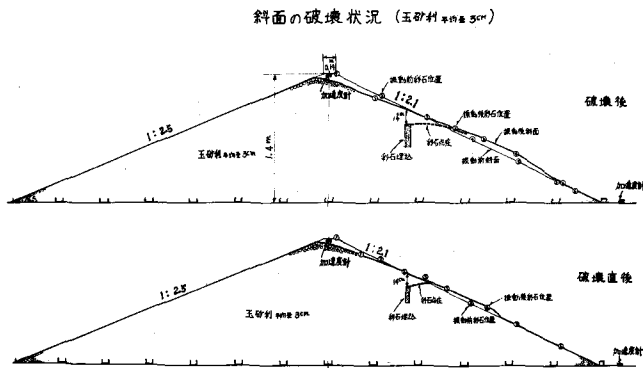
2) 法面の崩壩状態と勾配並びに粒度との関係
斜面が一平面である場合の模型では、滑動が始ま
る斜面上の位置は略々まとめていて、ダムの高さ
上半部多く集中している。法止めが低い場合には
不完全な場合には、法止め部分(下端)で、より少
ない力で法面が崩落する。このことは法止めの
重要性を示すものである。

法面の崩壊に先立つて、小エハ加速度で、表面は
リ深い部分（特にダムの高さの半分程度の位置で）
で振動する不安定運動のあら事が逐計で認められた。

滑動した表面表皮の厚さは必ず関係がある。勾配が1割5分の場合には、この厚さは9~14mm又はそれ以下である場合が多いが、2割5分になると20~30mmの厚さの部分が滑動するようになる。

又1割5~8分の勾配の法面では法面表面が一様な流動状態となり滑落するが、2割5分の勾配の法面では滑動する表層全体が一様に移動する傾向がある。粒径の大さい場合は移動しにくくなることが想察される。

堤体と運喰体と接続して解析した場合の引張応力の発生する部位と、崩落する部分の部分とがよく



—

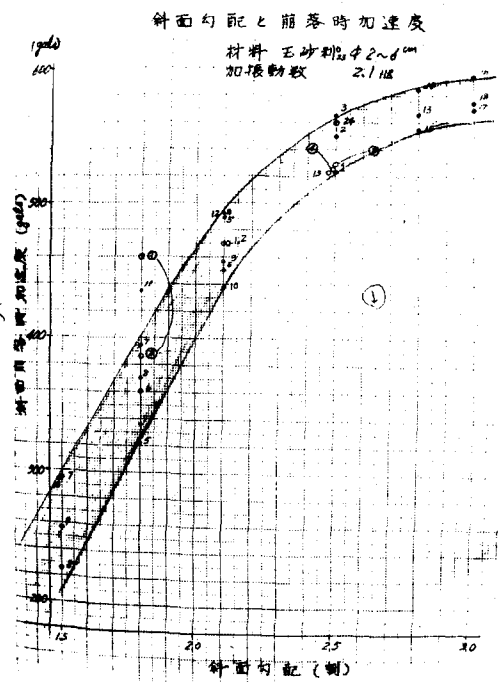


FIG - 2

一致するものは堤体内に発生するゆるみの効果が滑動の1つの要因にあっていいことかと思われる。

3) 法面上に作られた小段の効果(空虚時)

図-3は小段のある模型の場合で、小段のある法面の勾配は1割8分、小段の中は50cm、設置高さは70cm及び90cmの2種である。此等の模型では小段のある斜面では全面的な崩壊が起きにくいつつ、他の模型の場合と崩壊の様子が異なるが、これは部分的にも滑動した場合を崩壊とすることにした。

図-4は図-3で①と木でしていける模型の試験後の崩壊状況であつて、小段の存在によって法面の崩壊が一塊ずつ切離された様子を呈していることにつけて注目する必要がある。動的計算によればこの部分に応力分布の変化がみられる。この実験ではこの様な点が特色である。

- A) 法面勾配を同じとすれば小段のある斜面は大至ハメを木す。
- B) 小段は斜面の全体的な崩壊の発生を防げる効果をもつている。
- 4) 斜面の崩落に及ぼす湛水の効果

法面の安定性及び湛水の効果を調べるために図-5に示す標準高さ1.4m、上下流面勾配2割5分の模型を砂箱中に作り、上流側に1.2mの水位で湛水し、1.8Hzの振動及び加振し崩壊させた。測定方法については空虚時の場合と同様である。

試験結果をまとめれば次のようである。

- A) α_f は空虚時とその60~65%である。即ち α_f は0.27~0.34倍(木)となり。
 - B) 淀水側法面に略平行に淀水側法面表面は全体的な崩壊を起していい。
 - C) 滑動した部分の厚みは空虚の場合のそれに比べて同じか又は多少厚い様である。
 - D) 下流側法面は振動合加速度が1.4g近くに達しても全く変形せず安定である。
- 終わりに本研究に際して東京電力KK水越謙氏から終始協力を戴いたことと記して謝意に充たす。
- 1) フィルダムの耐震性；昭和45年土木学会関東支部講習会

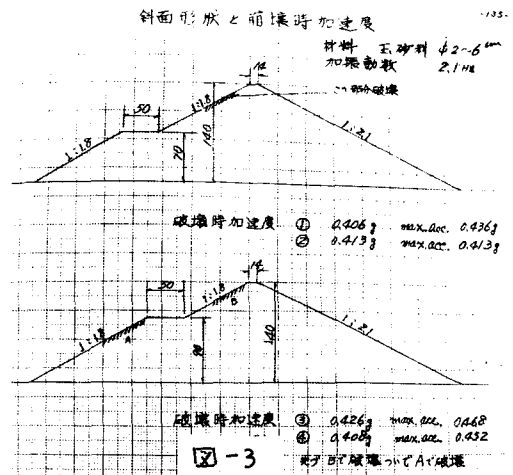


図-3 斜面形状と崩壊時加速度

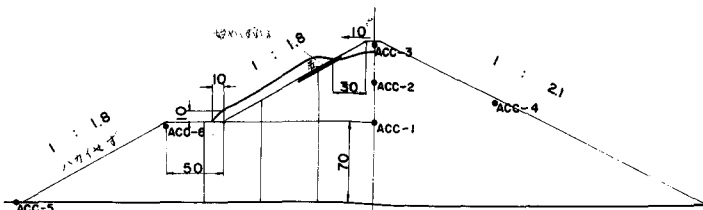


図-4

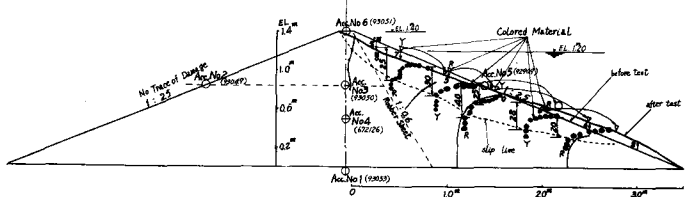


図-5.